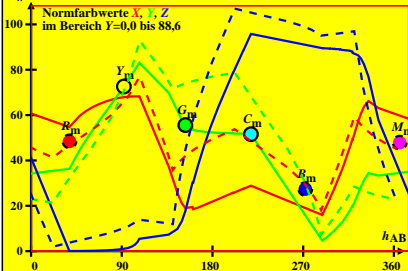
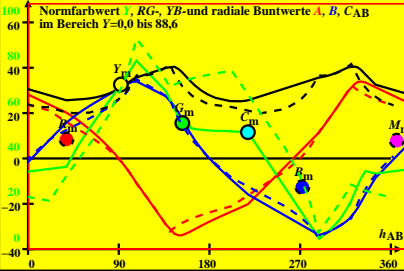


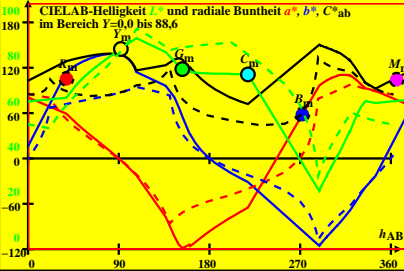
CIE-Daten von *Ostwald*-Farben von maximalem Buntwert
 $Y_w=88,6$, $Y_m=520\text{--}770$, $B_m=380\text{--}520$, und D65-*sRGB*-Daten



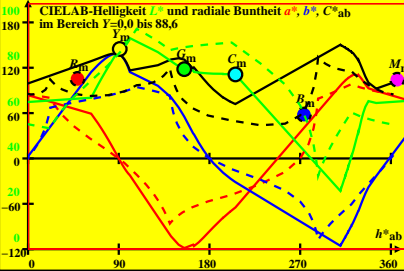
CIE-Daten von *Ostwald-Farben* von maximalem Buntwert
 $Y_w=88,6$, $Y_m=520_770$, $B_m=380_520$, und D65-*sRGB*-Daten



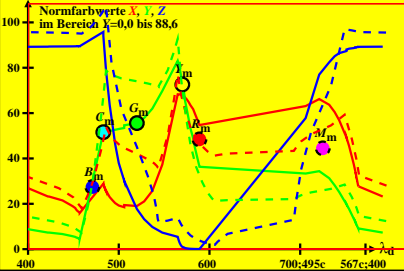
CIE-Daten von Ostwald-Farben von maximalem Buntwert
 $Y_w=88,6$, $Y_m=520_770$, $B_m=380_520$, und D65-sRGB-Daten



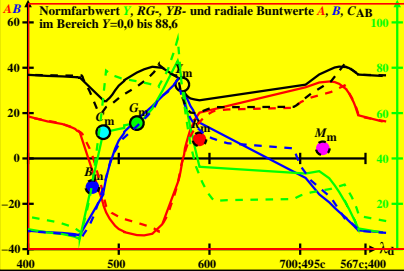
CIE-Daten von *Ostwald-Farben* von maximalem Buntwert
 $Y_w=88,6$, $Y_m=520_770$, $B_m=380_520$, und D65-*sRGB*-Daten



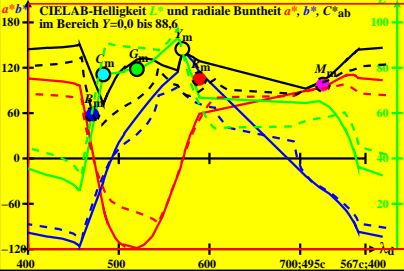
CIE-Daten von Ostwald-Farben von maximalem Buntwert
 $Y_w=88,6$, $Y_m=520_770$, $B_m=380_520$, und D65-sRGB-Daten



CIE-Daten von Ostwald-Farben von maximalem Buntwert
 $Y_w=88,6$, $Y_m=520_770$, $B_m=380_520$, und D65-sRGB-Daten

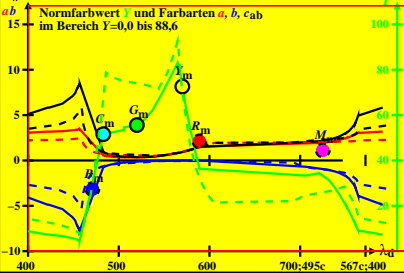


CIE-Daten von *Ostwald-Farben* von maximalem Buntwert
 $Y_w=88,6$, $Y_m=520_770$, $B_m=380_520$, und D65-*sRGB*-Daten

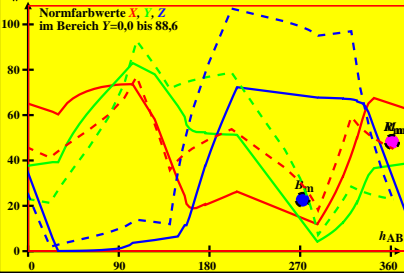


CIE-Daten von Ostwald-Farben von maximalem Buntwert
 $Y_w=88,6$, $Y_m=520_770$, $B_m=380_520$, und D65-*sRGB*-Daten

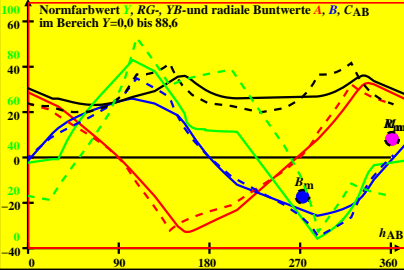
ab Normfarbwert Y und Farbarten a , b , c_{ab}
 im Bereich $Y=0,0$ bis $88,6$



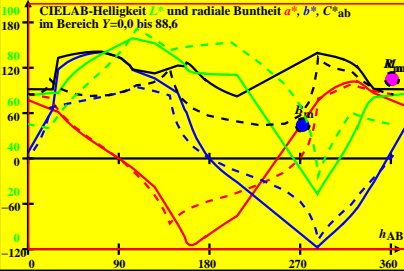
CIE-Daten von *Ostwald-Farben* von maximalem Buntwert
 $Y_w=88,6$, $Y_m=520_770$, $B_m=380_520$, und D50-*sRGB*-Daten



CIE-Daten von Ostwald-Farben von maximalem Buntwert
 $Y_w=88,6$, $Y_m=520_770$, $B_m=380_520$, und D50-*sRGB*-Daten

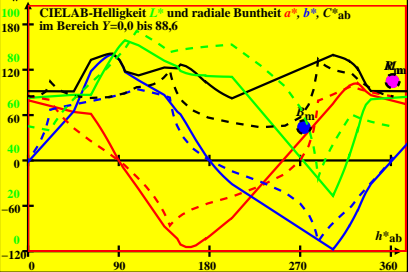


CIE-Daten von Ostwald-Farben von maximalem Buntwert
 $Y_w=88,6$, $Y_m=520,770$, $B_m=380,520$, und D50-sRGB-Daten

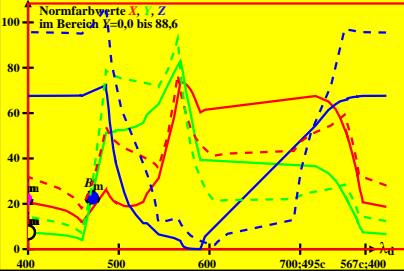


CIE-Daten von *Ostwald-Farben* von maximalem Buntwert
 $Y_w=88,6$, $Y_m=520,770$, $B_m=380,520$, und D50-*sRGB*-Daten

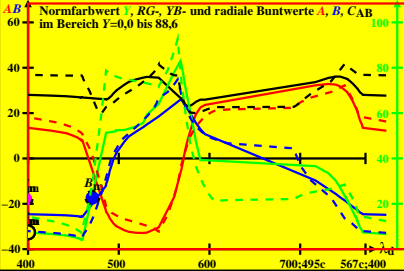
CIELAB-Helligkeit L^* und radiale Buntheit a^* , b^* , C^*_{ab}
im Bereich $Y=0,0$ bis $88,6$



CIE-Daten von Ostwald-Farben von maximalem Buntwert
 $Y_w=88,6$, $Y_m=520\text{--}770$, $B_m=380\text{--}520$, und D50-sRGB-Daten

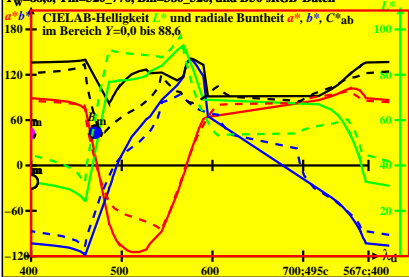


CIE-Daten von *Ostwald-Farben* von maximalem Buntwert
 $Y_w=88,6$, $Y_m=520_770$, $B_m=380_520$, und D50-*sRGB*-Daten



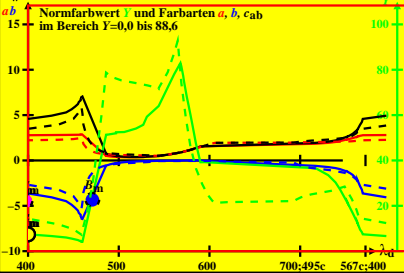
CIE-Daten von *Ostwald-Farben* von maximalem Buntwert
 $Y_w=88,6$, $Y_m=520_770$, $B_m=380_520$, und D50-*sRGB*-Daten

a^*b^* CIELAB-Helligkeit L^* und radiale Buntheit a^* , b^* , C^*_{ab}
 im Bereich $Y=0,0$ bis $88,6$

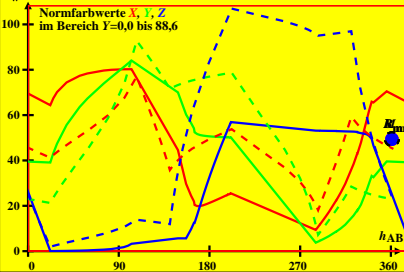


CIE-Daten von Ostwald-Farben von maximalem Buntwert
 $Y_w=88,6$, $Y_m=520,770$, $B_m=380,520$, und D50-*sRGB*-Daten

ab Normfarbwert Y und Farbarten a , b , c_{ab}
 im Bereich $Y=0,0$ bis $88,6$

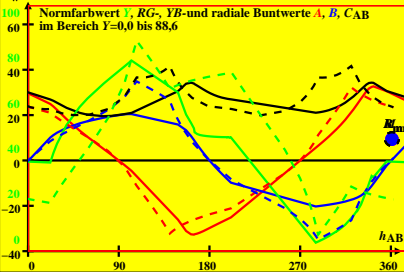


CIE-Daten von *Ostwald-Farben* von maximalem Buntwert
 $Y_w=88,6$, $Y_m=520\text{--}770$, $B_m=380\text{--}520$, und P40-*sRGB*-Daten



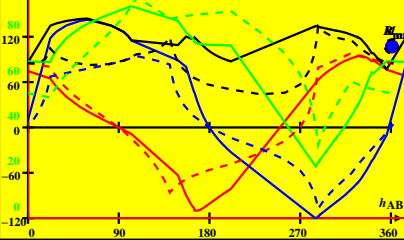
CIE-Daten von Ostwald-Farben von maximalem Buntwert
 $Y_w=88,6$, $Y_m=520\text{_}770$, $B_m=380\text{_}520$, und P40-*sRGB*-Daten

Normfarbwert Y , RG -, YB - und radiale Buntwerte A , B , C_{AB}
im Bereich $Y=0,0$ bis $88,6$



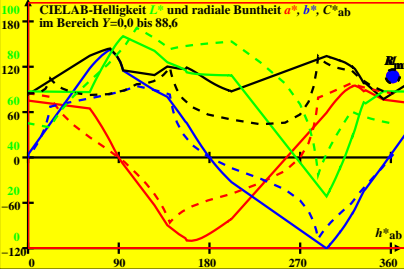
**CIE-Daten von *Ostwald-Farben* von maximalem Buntwert
 $Y_w=88,6$, $Y_m=520,770$, $B_m=380,520$, und P40-*sRGB*-Daten**

**CIELAB-Helligkeit L^* und radiale Buntheit a^* , b^* , C^*_{ab}
im Bereich $Y=0,0$ bis $88,6$**

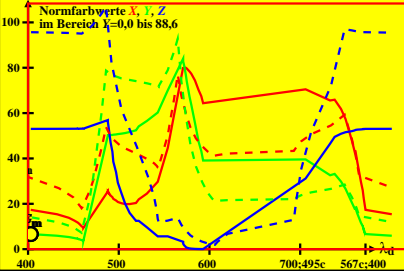


CIE-Daten von Ostwald-Farben von maximalem Buntwert
 $Y_w=88,6$, $Y_m=520,770$, $B_m=380,520$, und P40-sRGB-Daten

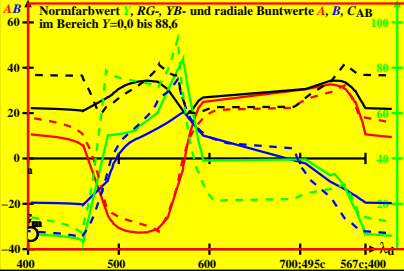
CIELAB-Helligkeit L^* und radiale Buntheit a^* , b^* , C^*_{ab}
im Bereich $Y=0,0$ bis $88,6$



CIE-Daten von Ostwald-Farben von maximalem Buntwert
 $Y_w=88,6$, $Y_m=520,770$, $B_m=380,520$, und P40-sRGB-Daten

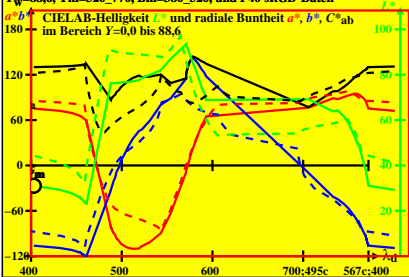


CIE-Daten von *Ostwald-Farben* von maximalem Buntwert
 $Y_w=88,6$, $Y_m=520_770$, $B_m=380_520$, und P40-*sRGB*-Daten



CIE-Daten von *Ostwald-Farben* von maximalem Buntwert
 $Y_w=88,6$, $Y_m=520_770$, $B_m=380_520$, und P40-*sRGB*-Daten

a^*b^* CIELAB-Helligkeit L^* und radiale Buntheit a^* , b^* , C^*_{ab}
 im Bereich $Y=0,0$ bis $88,6$

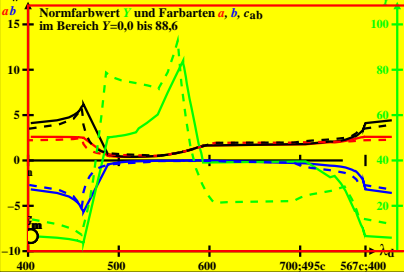


0-000030-L0

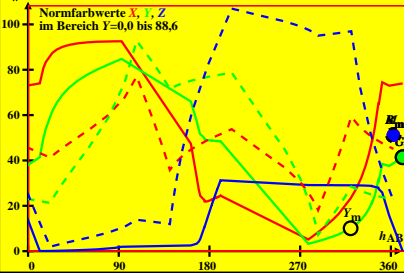
TG061-2A_1

CIE-Daten von Ostwald-Farben von maximalem Buntwert
 $Y_w=88,6$, $Y_m=520,770$, $B_m=380,520$, und P40-sRGB-Daten

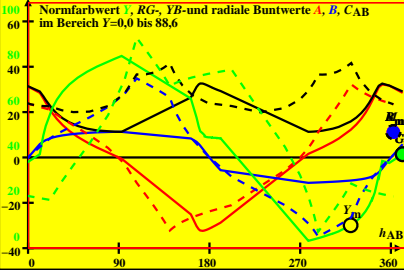
ab Normfarbwert Y und Farbarten a , b , c_{ab}
 im Bereich $Y=0,0$ bis $88,6$



CIE-Daten von *Ostwald*-Farben von maximalem Buntwert
 $Y_w=88,6$, $Y_m=520_770$, $B_m=380_520$, und A00-*sRGB*-Daten

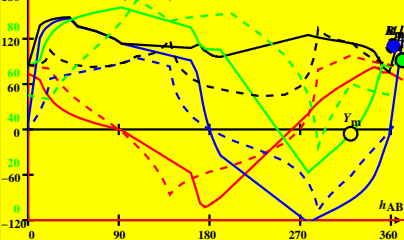


CIE-Daten von Ostwald-Farben von maximalem Buntwert
 $Y_w=88,6$, $Y_m=520_770$, $B_m=380_520$, und A00-sRGB-Daten

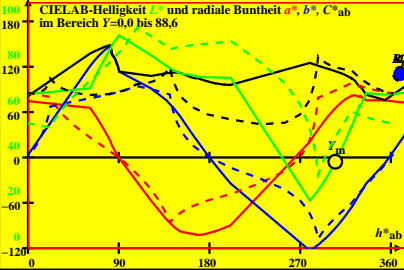


CIE-Daten von Ostwald-Farben von maximalem Buntwert
 $Y_w=88,6$, $Y_m=520,770$, $B_m=380,520$, und A00-sRGB-Daten

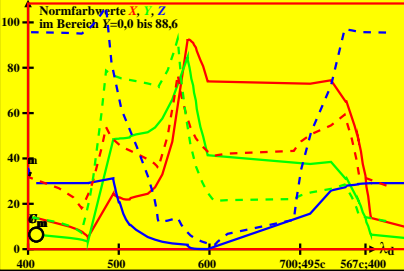
CIELAB-Helligkeit L^* und radiale Buntheit a^* , b^* , C^*_{ab}
 im Bereich $Y=0,0$ bis $88,6$



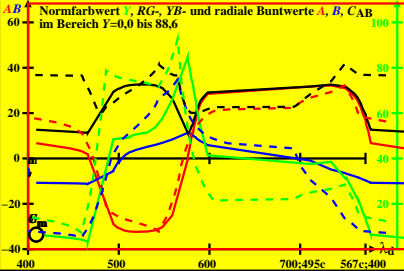
CIE-Daten von Ostwald-Farben von maximalem Buntwert
 $Y_w=88,6$, $Y_m=520,770$, $B_m=380,520$, und A00-sRGB-Daten



CIE-Daten von *Ostwald-Farben* von maximalem Buntwert
 $Y_w=88,6$, $Y_m=520\text{-}770$, $B_m=380\text{-}520$, und A00-*sRGB*-Daten

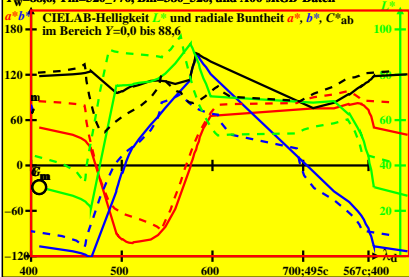


CIE-Daten von *Ostwald-Farben* von maximalem Buntwert
 $Y_w=88,6$, $Y_m=520_770$, $B_m=380_520$, und A00-*sRGB*-Daten



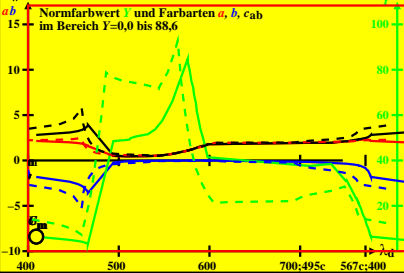
CIE-Daten von *Ostwald-Farben* von maximalem Buntwert
 $Y_w=88,6$, $Y_m=520_770$, $B_m=380_520$, und A00-*sRGB*-Daten

a^*b^* CIELAB-Helligkeit L^* und radiale Buntheit a^* , b^* , C^*_{ab}
 im Bereich $Y=0,0$ bis $88,6$

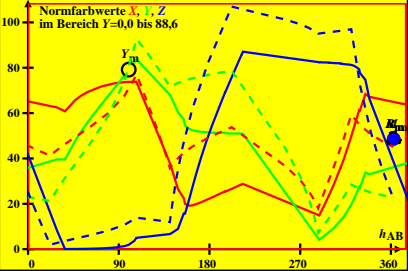


CIE-Daten von Ostwald-Farben von maximalem Buntwert
 $Y_w=88,6$, $Y_m=520\text{--}770$, $B_m=380\text{--}520$, und A00-sRGB-Daten

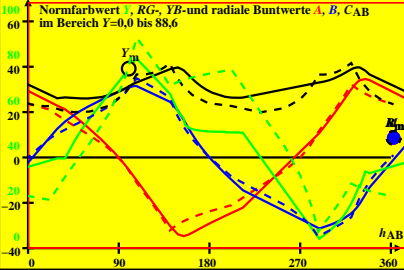
ab Normfarbwert Y und Farbarten a , b , c_{ab}
 im Bereich $Y=0,0$ bis $88,6$



CIE-Daten von *Ostwald*-Farben von maximalem Buntwert
 $Y_w=88,6$, $Y_m=520_770$, $B_m=380_520$, und E00-*sRGB*-Daten

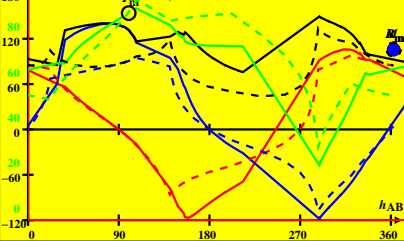


CIE-Daten von Ostwald-Farben von maximalem Buntwert
 $Y_w=88,6$, $Y_m=520_770$, $B_m=380_520$, und E00-*sRGB*-Daten

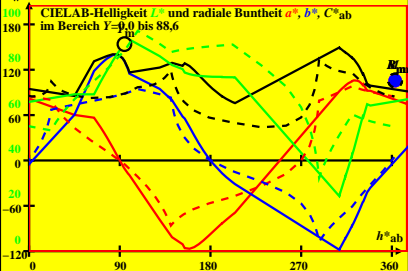


CIE-Daten von Ostwald-Farben von maximalem Buntwert
 $Y_w=88,6$, $Y_m=520,770$, $B_m=380,520$, und E00-*sRGB*-Daten

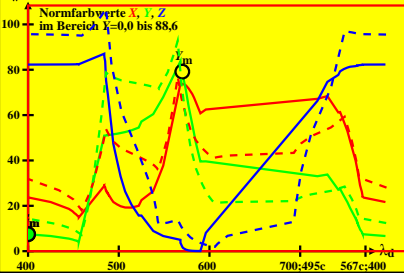
CIELAB-Helligkeit L^* und radiale Buntheit a^* , b^* , C^*_{ab}
im Bereich $Y=0$ bis $88,6$



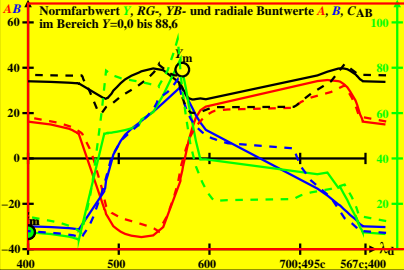
CIE-Daten von *Ostwald-Farben* von maximalem Buntwert
 $Y_w=88,6$, $Y_m=520,770$, $B_m=380,520$, und E00-*sRGB*-Daten



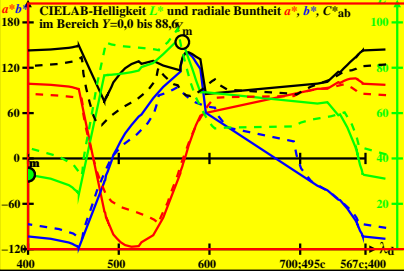
CIE-Daten von Ostwald-Farben von maximalem Buntwert
 $Y_w=88,6$, $Y_m=520\text{--}770$, $B_m=380\text{--}520$, und E00-*sRGB*-Daten



CIE-Daten von *Ostwald-Farben* von maximalem Buntwert
 $Y_w=88,6$, $Y_m=520_770$, $B_m=380_520$, und E00-*sRGB*-Daten

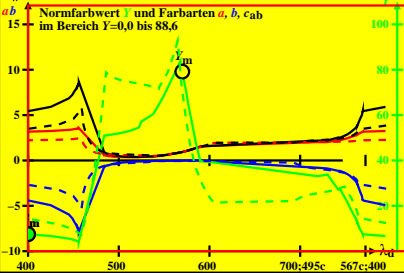


CIE-Daten von *Ostwald-Farben* von maximalem Buntwert
 $Y_w=88,6$, $Y_m=520_770$, $B_m=380_520$, und E00-*sRGB*-Daten

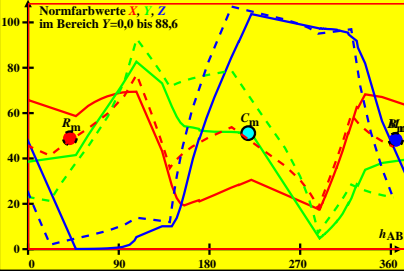


CIE-Daten von Ostwald-Farben von maximalem Buntwert
 $Y_w=88,6$, $Y_m=520_770$, $B_m=380_520$, und E00-*sRGB*-Daten

ab Normfarbwert Y und Farbarten a , b , c_{ab}
 im Bereich $Y=0,0$ bis $88,6$

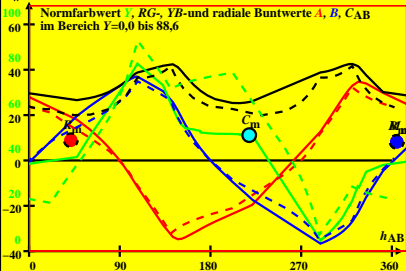


CIE-Daten von *Ostwald-Farben* von maximalem Buntwert
 $Y_w=88,6$, $Y_m=520_770$, $B_m=380_520$, und C00-*sRGB*-Daten

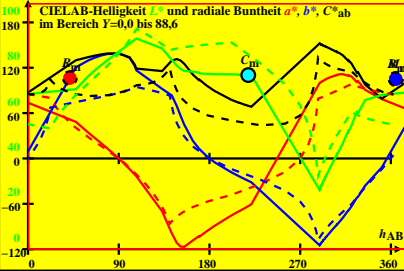


CIE-Daten von *Ostwald*-Farben von maximalem Buntwert
 $Y_w=88,6$, $Y_m=520_770$, $B_m=380_520$, und C00-*sRGB*-Daten

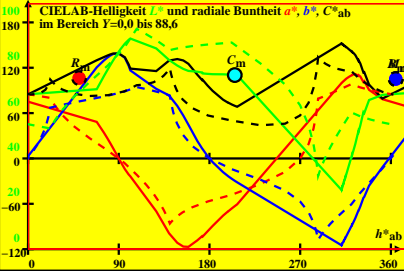
100 Normfarbwert Y , RG -, YB - und radiale Buntwerte A , B , C_{AB}
 im Bereich $Y=0,0$ bis $88,6$



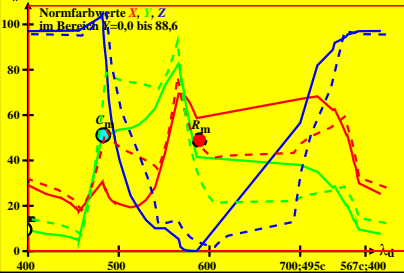
CIE-Daten von Ostwald-Farben von maximalem Buntwert
 $Y_w=88,6$, $Y_m=520_770$, $B_m=380_520$, und C00-sRGB-Daten



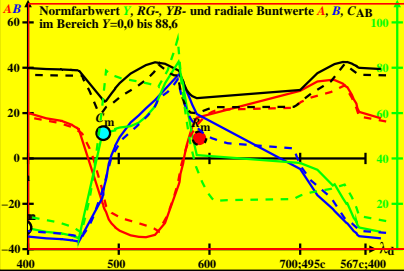
CIE-Daten von *Ostwald-Farben* von maximalem Buntwert
 $Y_w=88,6$, $Y_m=520_770$, $B_m=380_520$, und C00-*sRGB*-Daten



CIE-Daten von Ostwald-Farben von maximalem Buntwert
 $Y_w=88,6$, $Y_m=520\text{--}770$, $B_m=380\text{--}520$, und C00-sRGB-Daten

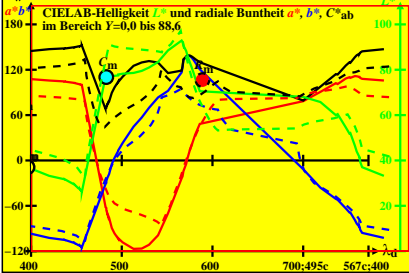


CIE-Daten von *Ostwald-Farben* von maximalem Buntwert
 $Y_w=88,6$, $Y_m=520_770$, $B_m=380_520$, und C00-*sRGB*-Daten

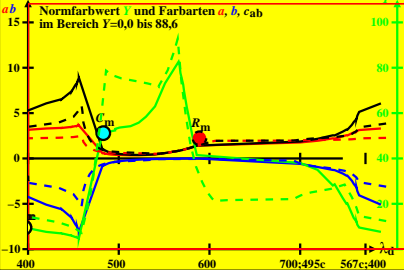


CIE-Daten von *Ostwald-Farben* von maximalem Buntwert
 $Y_w=88,6$, $Y_m=520_770$, $B_m=380_520$, und C00-*sRGB*-Daten

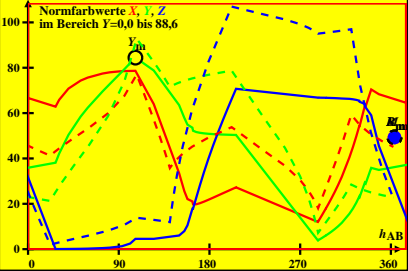
a^*b^* CIELAB-Helligkeit L^* und radiale Buntheit a^* , b^* , C^*_{ab}
 im Bereich $Y=0,0$ bis $88,6$



CIE-Daten von Ostwald-Farben von maximalem Buntwert
 $Y_w=88,6$, $Y_m=520\text{--}770$, $B_m=380\text{--}520$, und C00-sRGB-Daten

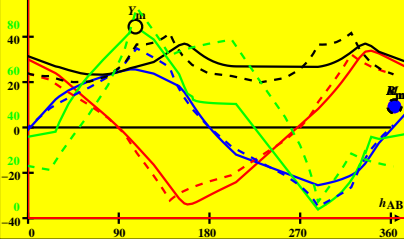


CIE-Daten von Ostwald-Farben von maximalem Buntwert
 $Y_w=88,6$, $Y_m=520_770$, $B_m=380_520$, und P00-*sRGB*-Daten



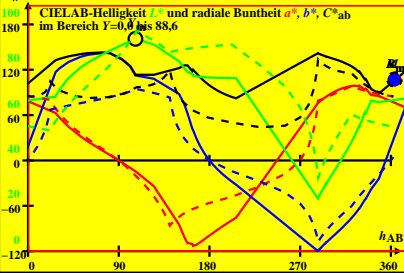
CIE-Daten von *Ostwald*-Farben von maximalem Buntwert
 $Y_w=88,6$, $Y_m=520_770$, $B_m=380_520$, und P00-*sRGB*-Daten

100 Normfarbwert Y , RG -, YB - und radiale Buntwerte A , B , C_{AB}
 im Bereich $Y=0,0$ bis $88,6$

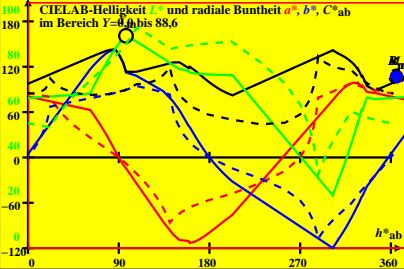


CIE-Daten von Ostwald-Farben von maximalem Buntwert
 $Y_w=88,6$, $Y_m=520_770$, $B_m=380_520$, und P00-*sRGB*-Daten

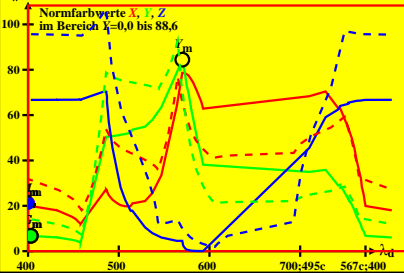
CIELAB-Helligkeit L^* und radiale Buntheit a^* , b^* , C^*_{ab}
im Bereich $Y=0,0$ bis $88,6$



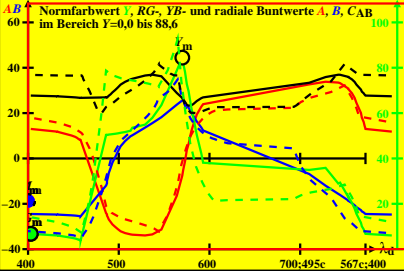
CIE-Daten von *Ostwald-Farben* von maximalem Buntwert
 $Y_w=88,6$, $Y_m=520,770$, $B_m=380,520$, und P00-*sRGB*-Daten



**CIE-Daten von *Ostwald*-Farben von maximalem Buntwert
 $Y_w=88,6$, $Y_m=520\text{-}770$, $B_m=380\text{-}520$, und P00-*sRGB*-Daten**

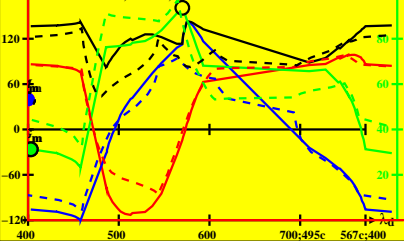


CIE-Daten von *Ostwald-Farben* von maximalem Buntwert
 $Y_w=88,6$, $Y_m=520_770$, $B_m=380_520$, und P00-*sRGB*-Daten



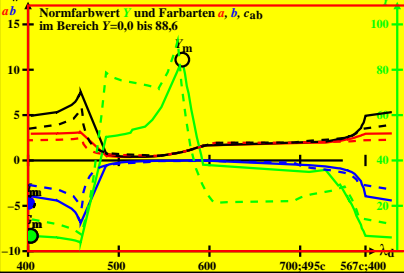
CIE-Daten von *Ostwald-Farben* von maximalem Buntwert
 $Y_w=88,6$, $Y_m=520_770$, $B_m=380_520$, und P00-*sRGB*-Daten

a^*b^* CIELAB-Helligkeit L^* und radiale Buntheit a^* , b^* , C^*_{ab}
 im Bereich $Y=0,0$ bis $88,6$ m

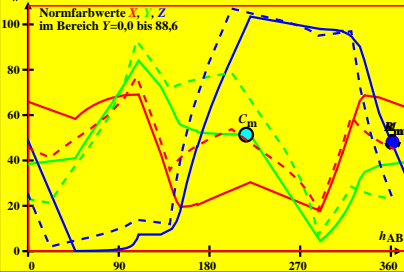


CIE-Daten von Ostwald-Farben von maximalem Buntwert
 $Y_w=88,6$, $Y_m=520\text{--}770$, $B_m=380\text{--}520$, und P00-*sRGB*-Daten

ab Normfarbwert Y und Farbarten a , b , c_{ab}
 im Bereich $Y=0,0$ bis $88,6$

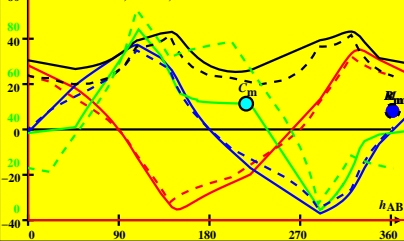


CIE-Daten von *Ostwald*-Farben von maximalem Buntwert
 $Y_w=88,6$, $Y_m=520\text{--}770$, $B_m=380\text{--}520$, und *Q00-sRGB*-Daten



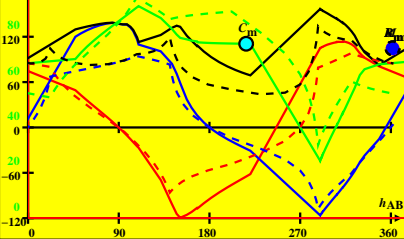
CIE-Daten von *Ostwald-Farben* von maximalem Buntwert
 $Y_w=88,6$, $Y_m=520_770$, $B_m=380_520$, und *Q00-sRGB*-Daten

100 Normfarbwert Y , RG -, YB - und radiale Buntwerte A , B , C_{AB}
im Bereich $Y=0,0$ bis $88,6$



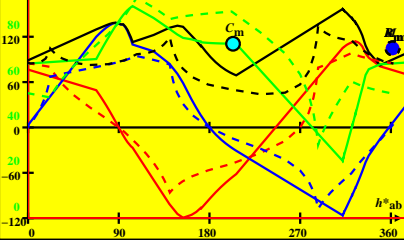
CIE-Daten von *Ostwald-Farben* von maximalem Buntwert
 $Y_w=88,6$, $Y_m=520_770$, $B_m=380_520$, und Q00-*sRGB*-Daten

100 CIELAB-Helligkeit L^* und radiale Buntheit a^* , b^* , C^*_{ab}
180 im Bereich $Y=0,0$ bis $88,6$

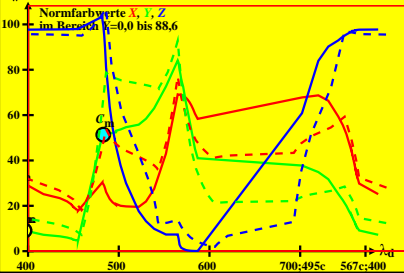


CIE-Daten von *Ostwald-Farben* von maximalem Buntwert
 $Y_w=88,6$, $Y_m=520_770$, $B_m=380_520$, und Q00-*sRGB*-Daten

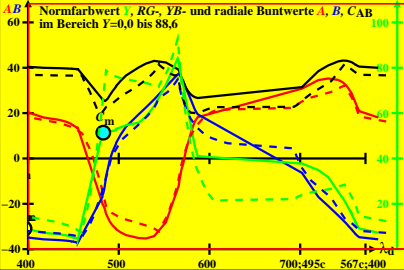
100 CIELAB-Helligkeit L^* und radiale Buntheit a^* , b^* , C^*_{ab}
180 im Bereich $Y=0,0$ bis $88,6$



**CIE-Daten von *Ostwald-Farben* von maximalem Buntwert
 $Y_w=88,6$, $Y_m=520\text{-}770$, $B_m=380\text{-}520$, und Q00-*sRGB*-Daten**

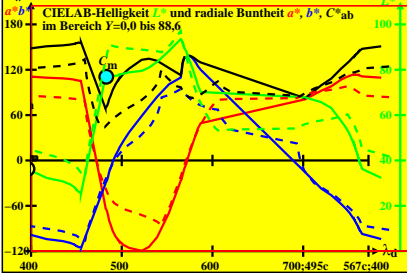


CIE-Daten von *Ostwald-Farben* von maximalem Buntwert
 $Y_w=88,6$, $Y_m=520_770$, $B_m=380_520$, und Q00-*sRGB*-Daten



CIE-Daten von *Ostwald-Farben* von maximalem Buntwert
 $Y_w=88,6$, $Y_m=520_770$, $B_m=380_520$, und Q00-*sRGB*-Daten

a^*b^* CIELAB-Helligkeit L^* und radiale Buntheit a^* , b^* , C^*_{ab}
 im Bereich $Y=0,0$ bis $88,6$



CIE-Daten von Ostwald-Farben von maximalem Buntwert
 $Y_w=88,6$, $Y_m=520,770$, $B_m=380,520$, und Q00-sRGB-Daten

ab Normfarbwert Y und Farbarten a , b , c_{ab}
 im Bereich $Y=0,0$ bis $88,6$

